CORRECCIÓN DE SPT POR EL MÉTODO DE LA AASHTO (45% DE LA ENERGIA)

		NF (m)	3.50	γ_w(kPa)	9.81							CORRELACIÓNES ϕ'			MODULO ELASTICO E (kPa)		COHESIÓN (KN/m2)		S_u (KN/m2)	
prof. (m)	di	N (campo)	γh (KN/m^3)	σ (kPa)	μ (kPa)	σ' (kPa)	σ' (Ksf)	C_N	N_1	N_{60}	di/N60	PECK (1953)	AYUTHAYA	JRB (Japan Road Bureau) (1986)	SKEMPTON (1986)	WEBB (1969)	STROUD & BUTLER (1975)	STROUD (1974)	BOWLES (1988)	HETTIARACHCHI & BROWN (2009)
2	2.0	3	**13.5**	27.0	0	27.0	0.6	1.4	4.3	3	0.6	28.0	29.0	21.3	8808	5825	12.8	14.4	8.0	13.1
4	2.0	7	**14.8**	56.6	4.9	51.7	1.1	1.2	8.5	6	0.3	28.4	31.5	23.9	12727	7026	25.4	28.5	15.9	26.0
5	1.0	10	**15.7**	72.3	14.7	57.6	1.2	1.2	11.7	9	0.1	28.6	33.1	25.5	15786	7963	35.2	39.6	22.0	36.0
6	1.0	13	**16.7**	89.0	24.5	64.5	1.3	1.1	14.7	11	0.1	28.8	34.3	26.8	18622	8832	44.2	49.8	27.6	45.3
∑=	**6.0**									∑=	**1.14**									

N= **5**

EL SUELO CORRESPONDE A **PERFIL E** SEGÚN TABLA A.2.4-1 DE NSR-10

CON TABLA A.2.4-3

Fa= **2.50**

Aa	Av
0.10	0.20

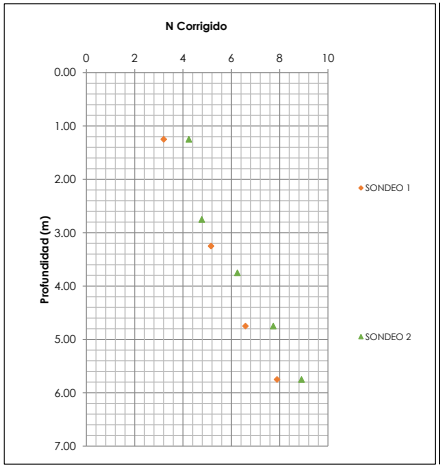
CON TABLA A.2.4-3

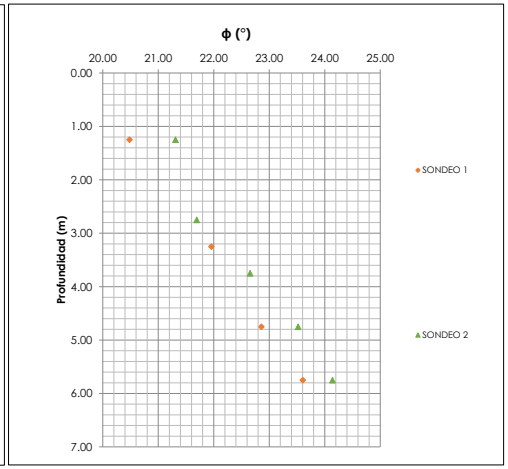
Fv= **3.20**

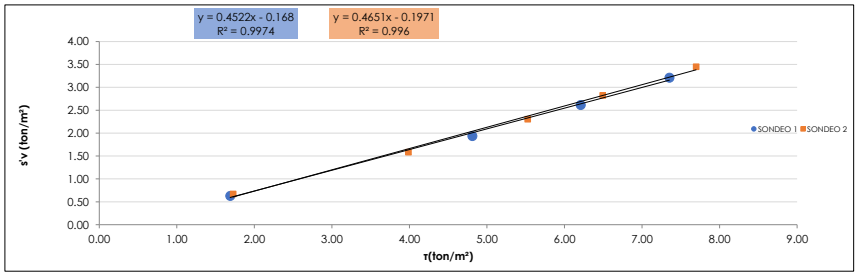
Anexo. Correlaciones SPT-Parámetros Geotécnicos

Sondeo	Profundidad de la muestra (m)			Tipo de Material	Esfuerzo Vertical Total y Efectivo		N.F (m)	μw (ton/m²)	s' v (ton/m²)	Rs	SPT	Cn								h1	$N_{Corregido}$	φ'equivalente	ϕ (°)					s' v (ton/m²)	t (ton/m²)	Stroud
	Inicial	Final	Media		g (ton/m³)	sv (ton/m²)					N. Campo (golpes/pie)	1	2	3	4	5	6	7	Promedio	Colombia	(golpes/pie)	Peck	Peck, Hanson y Thornburn	Kishida	JNR	JRB	Promedio			Ton/m²
SONDEO 1	0.50	2.00	1.25	Limo de muy alta plasticidad	1.35	1.69	-	0.00	1.69	0.22	3	1.50	1.81	1.84	2.11	1.63	1.92	1.65	1.78	0.60	3	29.30	27.57	21.33	27.60	**20.48**	25.26	1.69	0.63	1.32
	2.50	4.00	3.25	Arcilla de alta plasticidad	1.48	4.81	3.50	0.00	4.81	0.64	7	1.15	1.24	1.27	1.25	1.22	1.27	1.19	1.23	0.60	5	29.79	28.35	23.03	27.97	**21.96**	26.22	4.81	1.94	3.08
	4.50	5.00	4.75	Arcilla de muy alta plasticidad	1.57	7.46	3.50	1.25	6.21	0.82	10	1.06	1.10	1.12	1.10	1.10	1.12	1.08	1.10	0.60	7	30.15	28.90	24.07	28.23	**22.86**	26.84	6.21	2.62	4.40
	5.50	6.00	5.75	Arcilla de alta plasticidad	1.67	9.60	3.50	2.25	7.35	0.98	13	1.01	1.01	1.01	1.01	1.01	1.01	1.01	1.01	0.60	8	30.47	29.39	24.93	28.48	**23.60**	27.38	7.35	3.21	5.72
SONDEO 2	0.50	2.00	1.25	Limo de alta plasticidad con presencia de arena	1.38	1.73	-	0.00	1.73	0.23	4	1.49	1.80	1.83	2.09	1.63	1.90	1.64	1.77	0.60	4	29.56	27.99	22.28	27.80	**21.31**	25.79	1.73	0.67	1.76
	2.50	3.00	2.75	Arcilla de alta plasticidad	1.45	3.99	-	0.00	3.99	0.53	6	1.21	1.35	1.38	1.37	1.31	1.39	1.28	1.33	0.60	5	29.69	28.20	22.73	27.90	**21.69**	26.04	3.99	1.59	2.64
	3.50	4.00	3.75	Arcilla de alta plasticidad	1.54	5.78	3.50	0.25	5.53	0.73	9	1.10	1.17	1.19	1.17	1.15	1.19	1.13	1.16	0.60	6	30.06	28.77	23.84	28.17	**22.65**	26.70	5.53	2.31	3.96
	4.50	5.00	4.75	Arcilla de alta plasticidad	1.63	7.74	3.50	1.25	6.49	0.86	12	1.05	1.08	1.09	1.08	1.07	1.09	1.06	1.07	0.60	8	30.43	29.33	24.84	28.45	**23.52**	27.31	6.49	2.83	5.28
	5.50	6.00	5.75	Arcilla de alta plasticidad	1.73	9.95	3.50	2.25	7.70	1.02	15	0.99	0.99	0.99	0.99	0.99	0.99	0.99	0.99	0.60	9	30.73	29.76	25.55	28.67	**24.14**	27.77	7.70	3.45	6.60

Anexo. Correlaciones SPT-Parámetros Geotécnicos







Sondeo	Pendiente	Angulo de fricción (φ')
SONDEO 1	0.4522	24
SONDEO 2	0.4651	25